

T. CHEN ET AL.

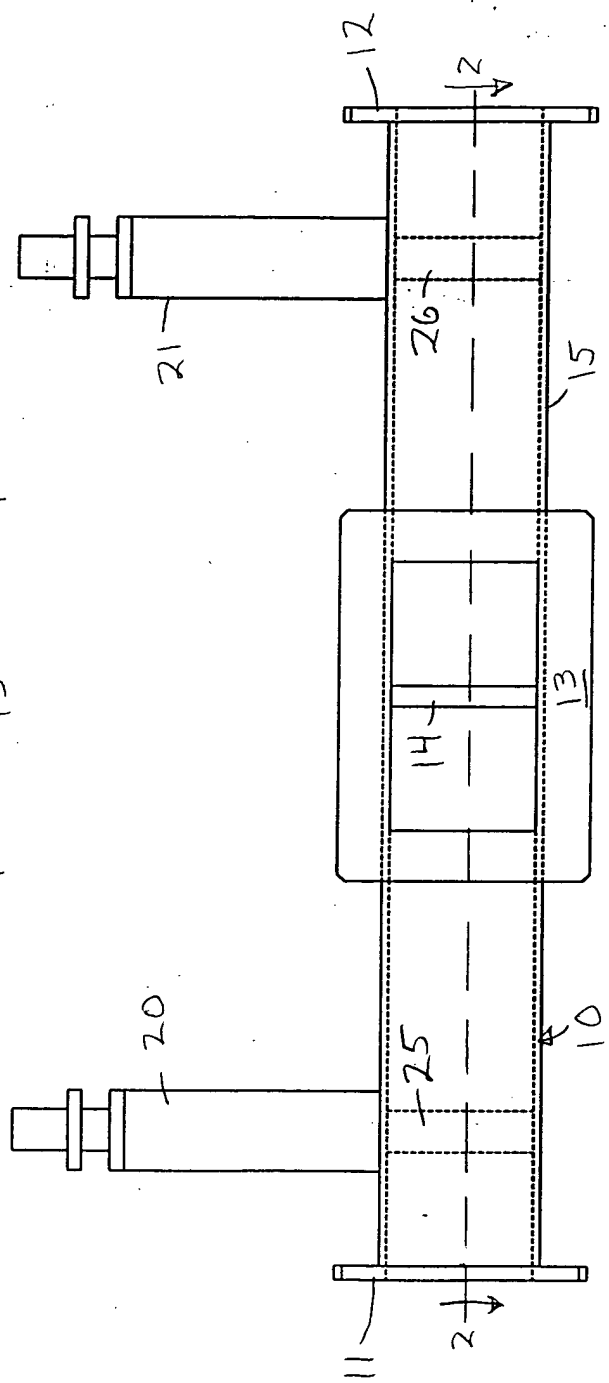
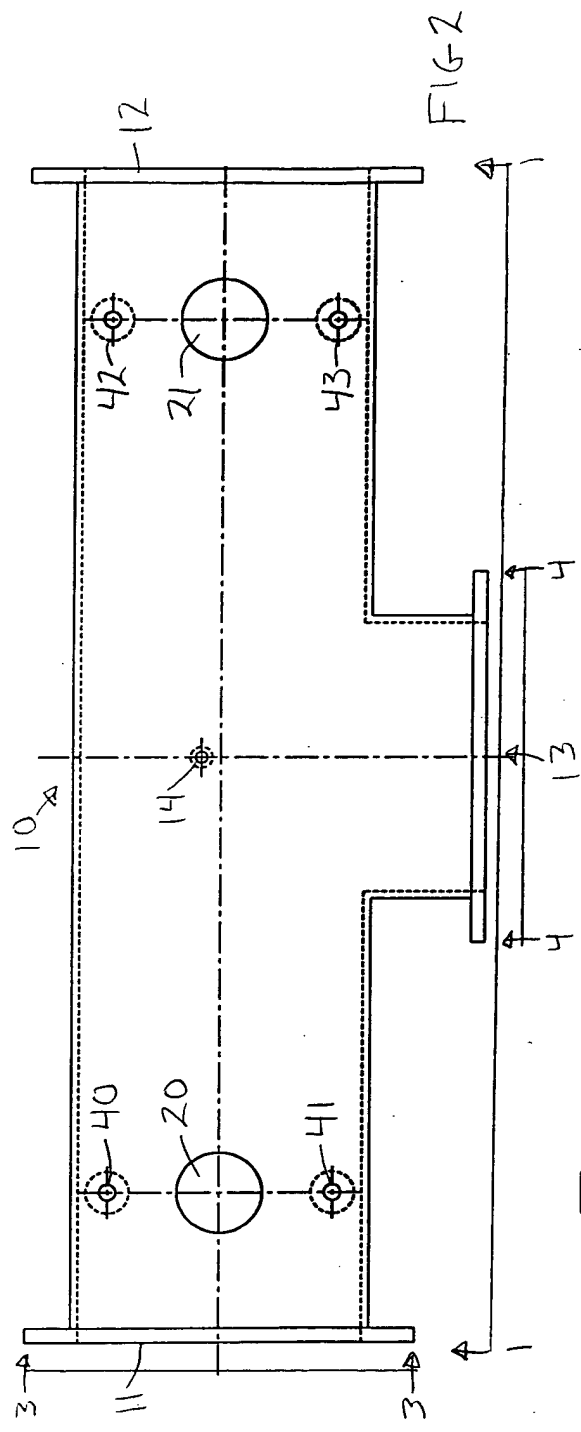


FIG. 3 FIG. 4 FIG. 5 FIG. 6 FIG. 7 FIG. 8

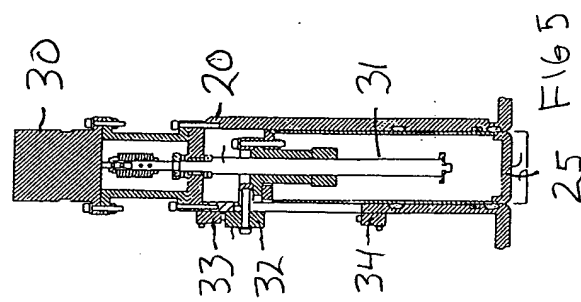
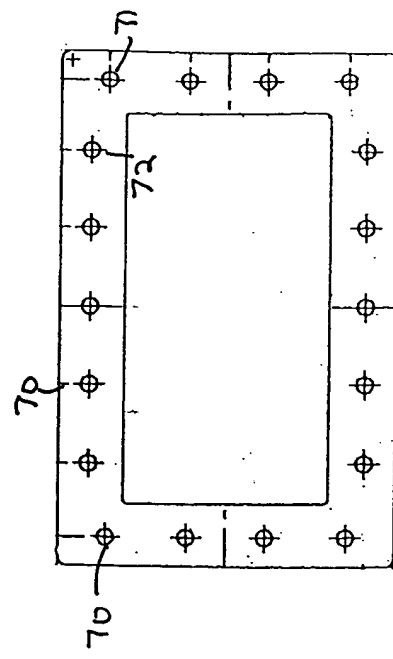
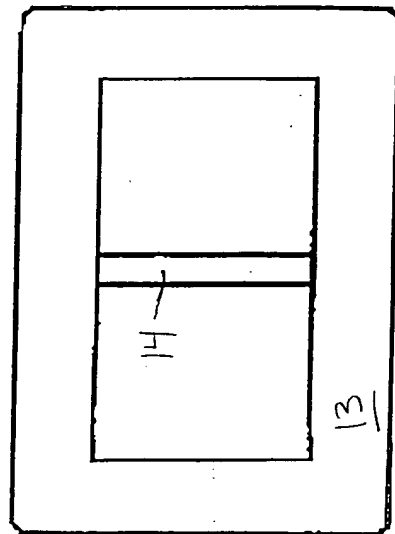
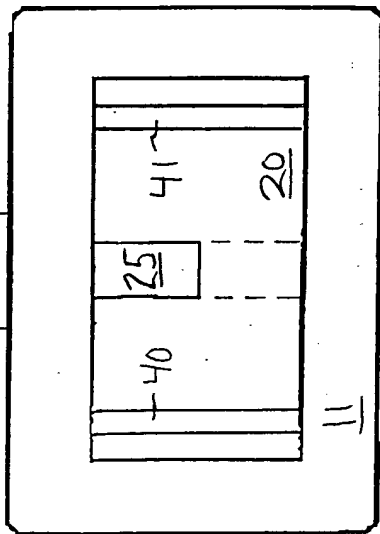


FIG. 3

FIG. 4



TOP SHOT - 639100

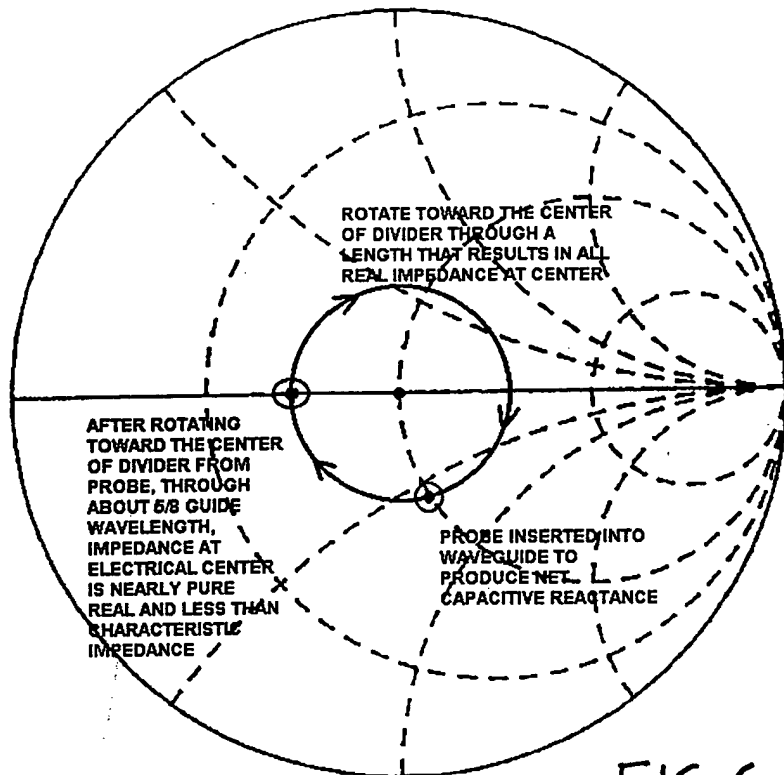


FIG 6

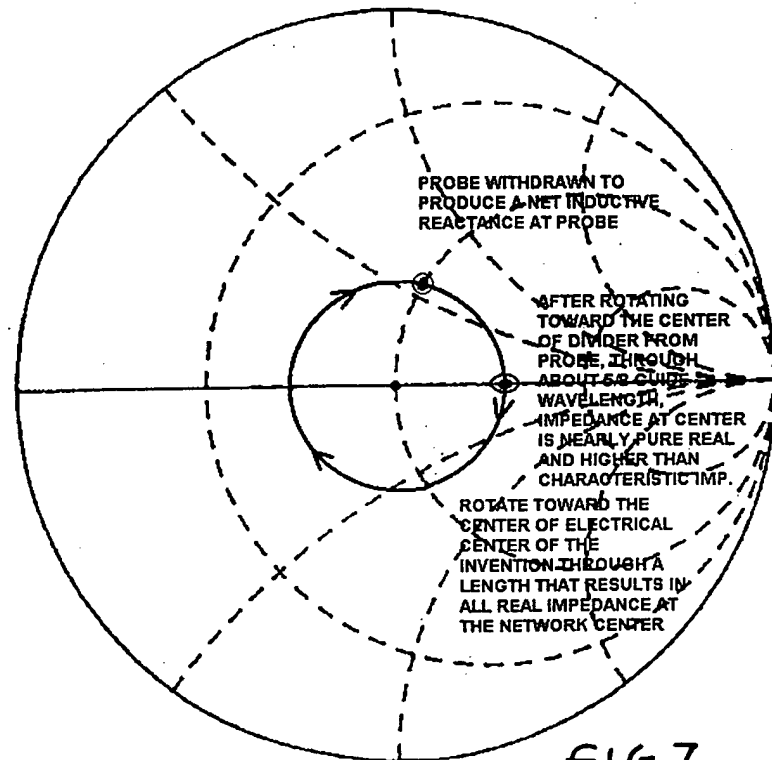


FIG 7

FIGURE 6 EET 2360

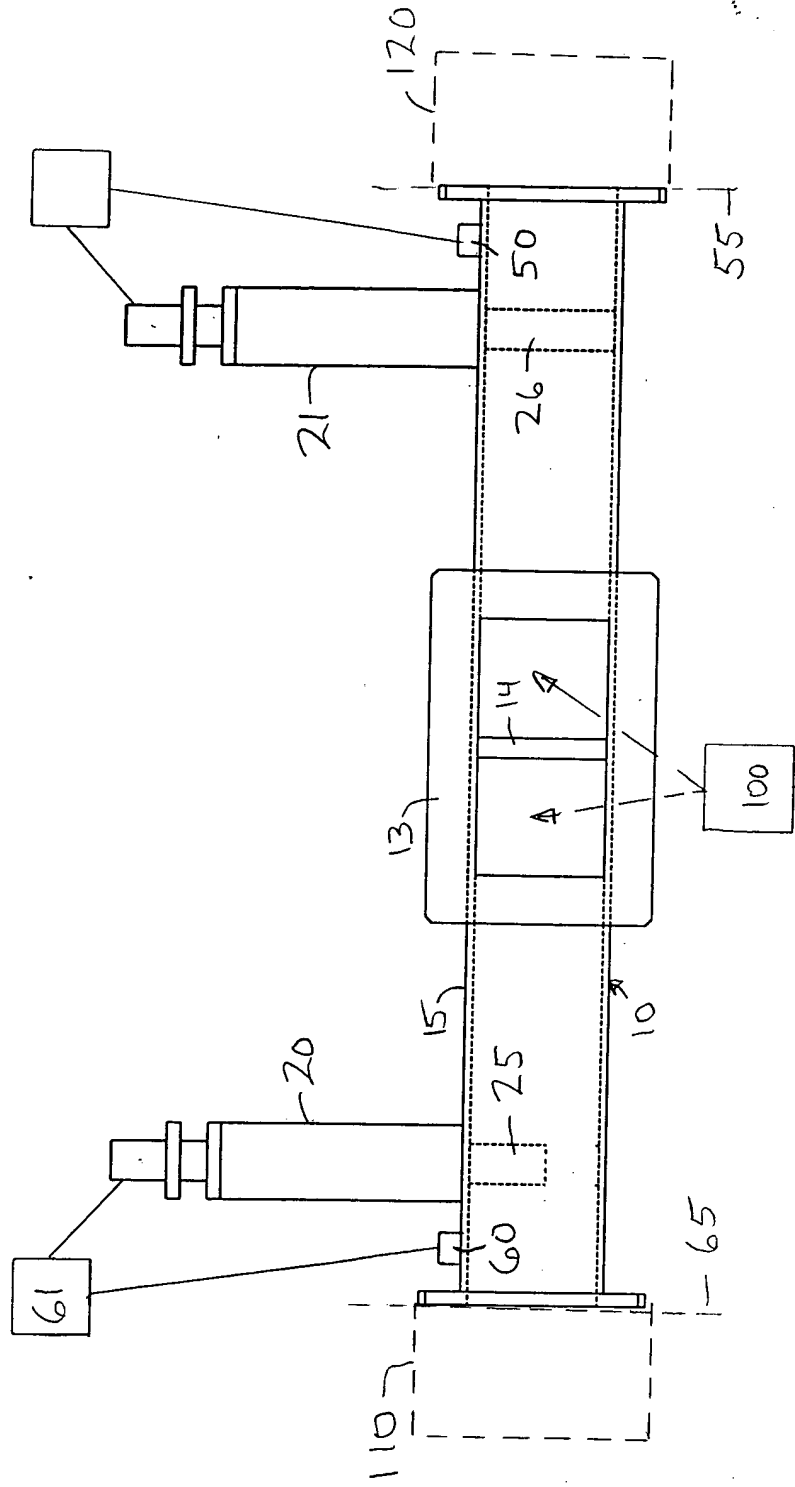


FIG 8